

La philosophie des Schobers fevers

Schober (de): traduction allemande du mot "stack" = meuble.
(pl. Schobers)

But: développer une théorie des faisceaux fevers en catégories triangulées
= Schobers fevers

Schobers fevers $\xrightarrow{K_0}$ Faisceaux fevers

Motivation: application à la géométrie symplectique, "les Schobers fevers sont les coefficients pour les catégories de Fukaya".

Moyen: s'inspirer des descriptions de (certaines) catégories de faisceaux fevers comme catégories de représentations de carquois.

1 → disque pointé (Beilinson, Deligne, ...) *

2 → \mathbb{C}^n stratifié par les $\{x_i=0\}$ (Gaiotto-Granger-Maisonobe)

3 → Arrangements d'hyperplans réels (Kapranov-Schechtman)

4 → Surfaces de Riemann (=) *

1: les Schobers fevers sont les "foncteurs sphériques"

4: en cours de développement (Dyckerhoff-Kapranov-Schechtman-Soribelman)

Systèmes locaux et cohomologie

Rappel: Δ le disque unité dans \mathbb{C} , $\Delta^x = \Delta - \{0\}$

$$\text{Loc}(\Delta^x) \simeq \{ V \curvearrowright T \text{ iso} \} = \text{Rep}(\mathbb{Z})$$

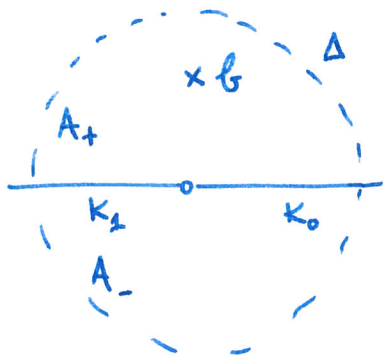
Lemme: Soit $V \in \text{Loc}(\Delta^x)$ représenté par (V, T) . Alors on a

$$H^0(\Delta^x, V) \simeq V^T := \ker(V \xrightarrow{1-T} V);$$

$$H^1(\Delta^x, V) \simeq V_T := \text{coker}(V \xrightarrow{1-T} V);$$

$$H^i(\Delta^x, V) = 0 \quad (i \notin \{0, 1\}).$$

Preuve: Par un calcul à la Čech.



$$\Delta^x = U_0 \cup U_1, \quad U_i = \Delta^x - K_i$$

$$U_0 \cap U_1 = A_+ \cup A_-$$

(V n'a pas de cohomologie sur U_0, U_1 et $U_0 \cap U_1$)

Complexe de Čech:

$$\Gamma(V, U_0) \oplus \Gamma(V, U_1) \longrightarrow \Gamma(V, A_+) \oplus \Gamma(V, A_-)$$

si

si

$$V \oplus V$$

\longrightarrow

$$V \oplus V$$

$V := V_{\mathbb{C}}$. On fixe des identifications:

$$\Gamma(V, u_0) \xrightarrow{\cong} V$$

$$\Gamma(V, u_1) \xrightarrow{\cong} V$$

$$\Gamma(V, A_+) \xrightarrow{\cong} V$$

$$\Gamma(V, A_-) \xleftarrow{\cong} \Gamma(V, u_1) \xrightarrow{\cong} V$$

d est alors donnée par la formule

$d(v_0, v_1) = (v_0 - v_1, T(v_0) - v_1)$. On conclut avec la suite exacte:

$$\begin{array}{ccccccc} 0 & \rightarrow & V^T & \rightarrow & V \oplus V & \xrightarrow{d} & V \oplus V & \rightarrow & V_T & \rightarrow & 0 \\ & & v & \mapsto & (v, v) & & (v, w) & \mapsto & v - w & & \end{array}$$

Faisceaux constructibles sur $(\Delta, 0)$

Δ : le disque unité (fermé) dans \mathbb{C} , 0 l'origine

Prop: La catégorie $\text{Const}(\Delta, 0)$ des faisceaux constructibles sur Δ avec singularité éventuelle en 0 est équivalente à la catégorie dont les objets sont les (V_0, V_1, g, T)

$$V_0 \xrightarrow{g} V_1 \hookrightarrow T$$

avec $V_0, V_1 \in \text{Vect}$, T isomorphisme et $(1-T)g = 0$.

Dém:

V_0 et V_1 sont les fibres en 0 et 1 resp., g est le morphisme de généralisation, T est la monodromie.

$$\text{Im}(g) \subseteq V_1^T = H^0(\Delta(\varepsilon)^*, \mathbb{V})$$

Exemples: $(i: \{0\} \hookrightarrow \Delta, j: \Delta^* \hookrightarrow \Delta)$

• $i_* \underline{V} : V \xrightarrow{0} 0 \hookrightarrow 0$

• $j_!(V, T) : 0 \xrightarrow{0} V \hookrightarrow T$

• $j_*(V, T) : V^T \hookrightarrow V \hookrightarrow T$

• $f: \Delta \rightarrow \Delta, z \mapsto z^m$

$f_* \underline{k}_\Delta \in \text{Const}(\Delta, 0)$

$k \longrightarrow k^m \hookrightarrow T$ (shift)
 $x \mapsto (x, \dots, x)$

Faisceaux pervers sur $(\Delta, 0)$, description en termes de carquois

Théorème: La catégorie $\text{Perv}(\Delta, 0)$ des faisceaux pervers sur $(\Delta, 0)$ est équivalente à la catégorie des (Φ, Ψ, μ, ν)

$$\Phi \begin{array}{c} \xrightarrow{\nu} \\ \xleftarrow{\mu} \end{array} \Psi$$

avec $\Phi, \Psi \in \text{Vect}$, $T := 1 - \nu\mu$ isomorphisme.

Remarque: $1 - \nu\mu$ iso $\iff 1 - \mu\nu$ iso.

Remarque: Dualité de Verdier:

$$\mathbb{D}\left(\Phi \begin{array}{c} \xrightarrow{\mu} \\ \xleftarrow{\nu} \end{array} \Psi\right) = \left(\Phi^{\vee} \begin{array}{c} \xrightarrow{\nu^{\vee}} \\ \xleftarrow{\mu^{\vee}} \end{array} \Psi^{\vee}\right).$$

Compare avec la description de $\text{Const}(\Delta, 0)$.

a) Construction de Ψ : "cycles proches"

Soit $\mathcal{F} \in \text{Perv}(\Delta, 0)$, ou dans $\mathcal{D}_{\text{const}}^b(\Delta, 0)$. Conditions de perversité, en notant $i_0: \{0\} \hookrightarrow \Delta$, $j_0: \Delta - \{0\} \hookrightarrow \Delta$

$$\begin{cases} i_0^* \mathcal{F} \in \mathcal{D}^{\leq 0} & \text{et} & j_0^* \mathcal{F} \in \mathcal{D}^{\leq -1} \\ i_0! \mathcal{F} \in \mathcal{D}^{\geq 0} & \text{et} & j_0! \mathcal{F} \in \mathcal{D}^{\geq -1} \end{cases}$$

$$j_0^! = j_0^* \rightsquigarrow j_0^* \mathcal{F} \in \mathcal{D}^{\leq -1} \cap \mathcal{D}^{\geq -1} = \text{Loc}(\Delta - \{0\})[1]$$

$$\text{Notons } j_0^* \mathcal{F} = \mathcal{V}[1]$$

Soit Ψ la fibre de \mathcal{V} au point b , et

notons $T_G \Psi$ la monodromie (ce sera le T du théorème).

b) Etudions un peu mieux les conditions de ferveurité

• Triangle $j_0! j_0^! \mathcal{F}' \rightarrow \mathcal{F}' \rightarrow i_{0*} i_0^* \mathcal{F}' \xrightarrow{+1}$

$$j_0^! \mathcal{F}' = \mathbb{V}[1], j_0! \text{ exact} \Rightarrow \mathcal{H}^n(j_0! j_0^! \mathcal{F}') = 0 \text{ pour } n \neq -1$$

$$\text{Condition de ferveurité, } i_{0*} \text{ exact} \Rightarrow \mathcal{H}^n(i_{0*} i_0^* \mathcal{F}') = 0 \text{ pour } n > 0.$$

$$\text{Suite exacte longue en cohomologie} \Rightarrow \mathcal{H}^n(\mathcal{F}') = 0 \text{ pour } n > 0.$$

• Triangle $i_0! i_0^! \mathcal{F}' \rightarrow \mathcal{F}' \rightarrow j_{0*} j_0^* \mathcal{F}' \xrightarrow{+1}$

$$j_0^* \mathcal{F}' = \mathbb{V}[1], j_{0*} \text{ exact à gauche} \Rightarrow \mathcal{H}^n(j_{0*} j_0^* \mathcal{F}') = 0 \text{ pour } n < -1$$

$$\text{Condition de ferveurité, } i_0! \text{ exact} \Rightarrow \mathcal{H}^n(i_0! i_0^! \mathcal{F}') = 0 \text{ pour } n < 0$$

$$\text{Suite exacte longue en cohomologie} \Rightarrow \mathcal{H}^n(\mathcal{F}') = 0 \text{ pour } n < -1.$$

Conclusion: on a seulement $\mathcal{H}^{-1}(\mathcal{F}')$ et $\mathcal{H}^0(\mathcal{F}')$

$$j_0^* \mathcal{H}^{-1}(\mathcal{F}') \simeq \mathbb{V}$$

$$j_0^* \mathcal{H}^0(\mathcal{F}') = 0 \Rightarrow \mathcal{H}^0(\mathcal{F}') \text{ est supporté en } \{0\}.$$

$$(\text{ et } \mathcal{H}^{-1}(i_0! i_0^! \mathcal{F}') = 0)$$

c) Aparté

Pour comprendre une catégorie abélienne \mathcal{C} ($= \text{Per}(\Delta, 0)$), et a fortiori si on veut décrire \mathcal{C} comme représentation d'un carquois, on a envie de produire des foncteurs exact:

$$\mathcal{C} \rightarrow \text{Vect}_{\mathbb{K}}$$

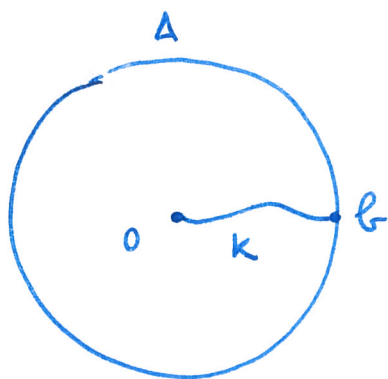
(chaque sommet du carquois donne lieu à un tel foncteur)

On a déjà $\mathcal{Y}: \text{Per}(\Delta, 0) \rightarrow \text{Vect}_{\mathbb{K}}$ "fibre générique décalée"

Idée naturelle: prendre la fibre/cofibre en 0.

Problème: en général $i_0^* \mathcal{F} / i_0^! \mathcal{F}$ a de la cohomologie en plusieurs degrés (-1 et 0 / 0 et 1); on pourrait prendre H^{-1} ou H^0 / H^0 ou H^1 , mais ça donnerait un foncteur exact à droite ou à gauche seulement.

d) Un lemme très utile



$$i: K \hookrightarrow \Delta$$

$$j: \Delta - K \hookrightarrow \Delta$$

$$\text{On pose } \underline{H}_K^n(\mathcal{F}) := \mathcal{H}^n(i_! i^! \mathcal{F}) \in \text{Const}(\Delta) \quad \Delta = (\Delta - K) \sqcup (K - 0) \sqcup 0 \\ = i_* \mathcal{H}^n(i^! \mathcal{F})$$

(faisceaux de cohomologie à support dans K , $\underline{H}_K^n = R^n \Gamma_K$, $\Gamma_K = i_! i^!$ foncteur des sections à support dans K)

Lemme: ("Lemme de confluence") $\underline{H}_K^n(\mathcal{F}) = 0$ pour $n \neq 0$.

Preuve:

On utilise le triangle $i_! i^! \mathcal{F} \rightarrow \mathcal{F} \rightarrow j_* j^* \mathcal{F} \xrightarrow{+1}$

On a $j_* j^* \mathcal{F} = j_* \underline{\mathcal{H}}_{\Delta - K}^{[1]}$ qui n'a que du \mathcal{H}^{-1} , et \mathcal{F} n'a que du \mathcal{H}^{-1} et du \mathcal{H}^0 , donc il suffit de montrer que $\mathcal{H}^{-1}(i_! i^! \mathcal{F}) = 0$.

Cela résulte du triangle

$$i_! (i_0^k)_! (i_0^k)^! i^! \mathcal{F} \rightarrow i_! i^! \mathcal{F} \rightarrow i_! (j_{K-0}^k)_* (j_{K-0}^k)^* i^! \mathcal{F} \xrightarrow{+1}$$

En effet, $i_!(i_0^k)!(i_0^k)! i^! \mathcal{F} = i_0! i_0^! \mathcal{F}$, qui n'a pas de \mathcal{H}^{-1} par les conditions de ferveurité, et

$$i_!(j_{k-0}^k)_*(j_{k-0}^k)^* i^! \mathcal{F} \simeq j_{0*} (i_{k-0}^{\Delta-0})! (i_{k-0}^{\Delta-0})! \mathbb{V}[1]$$

dont le \mathcal{H}^{-1} est

$$\mathcal{H}^0(j_{0*} (i_{k-0}^{\Delta-0})! (i_{k-0}^{\Delta-0})! \mathbb{V}) \simeq \underbrace{j_{0*} (i_{k-0}^{\Delta-0})}_{\text{(non dérivé)}} \underbrace{\mathcal{H}^0(i_{k-0}^{\Delta-0})! \mathbb{V}}_{\text{sections à support dans } k-0} = 0.$$

e) Construction de Φ, u, v .

↑
"cycles évanescents"

D'après la suite exacte longue pour le triangle de la preuve du lemme de compure, on a une suite exacte dans $\text{Const}(\Delta)$:

$$0 \rightarrow \mathcal{H}^{-1}(\mathcal{F}') \rightarrow j_* \underline{\mathcal{Z}}_{\Delta-k} \xrightarrow{\alpha} \underline{H}_k^0(\mathcal{F}') \rightarrow \mathcal{H}^0(\mathcal{F}') \rightarrow 0.$$

↑ système local
↑ non dérivé
↑ constant
↑ supporté sur K , constructible sur $K=(k-0) \cup 0$.
↑ supporté en $\{0\}$

$\mathbb{V} = (\mathcal{Z}, T)$
en-dehors de 0

Fibre en \mathcal{G} :

$$0 \rightarrow (\mathcal{H}^{-1}(\mathcal{F}'))_{\mathcal{G}} \rightarrow (j_* \underline{\mathcal{Z}}_{\Delta-k})_{\mathcal{G}} \rightarrow \underline{H}_k^0(\mathcal{F}')_{\mathcal{G}} \rightarrow 0$$

$$\begin{array}{ccccccc} \downarrow s_1 & & \downarrow s_1 & & \downarrow s_1 & & \\ 0 \rightarrow \mathcal{Z} & \rightarrow & \mathcal{Z} \oplus \mathcal{Z} & \rightarrow & \mathcal{Z} & \rightarrow & 0 \\ x & \mapsto & (x, T^{-1}(x)) & & & & \\ & & (x, y) & \mapsto & x - T(y) & & \end{array}$$

On a donc $\underline{H}_k^0(\mathcal{F}')_{\mathbb{A}^1} \simeq \mathbb{Z}$.

Définissons $\underline{\Phi} := \underline{H}_k^0(\mathcal{F}')_0$.

On définit $v: \underline{\Phi} \rightarrow \mathbb{Z}$ comme le morphisme de généralisation le long de K .

et $u: \mathbb{Z} \rightarrow \underline{\Phi}$ comme la fibre en 0 de

$$j_* \underline{\mathbb{Z}}_{\mathbb{A}^1 - K} \xrightarrow{\alpha} \underline{H}_k^0(\mathcal{F}')$$

Le fait que α commute aux morphismes de généralisation nous dit qu'on a un carré commutatif:

$$\begin{array}{ccc} \mathbb{Z} & \xrightarrow{u} & \underline{\Phi} \\ \downarrow & & \downarrow v \\ (x, x) & \xrightarrow{\quad} & \mathbb{Z} \\ & & (x, y) \longmapsto x - T(y) \end{array}$$

On a donc $vu(x) = x - T(x) : T = 1 - vu$.

Fin de la construction de l'équivalence de catégories.

f) L'équivalence inverse

On se donne $\underline{\Phi} \begin{array}{c} \xrightarrow{v} \\ \xleftarrow{u} \end{array} \mathbb{Z}$, $T := 1 - vu$ isomorphisme.

Soit $\mathcal{A} := j_* \underline{\mathbb{Z}}_{\mathbb{A}^1 - K}$

\mathcal{B} le faisceau constructible supporté sur K obtenu en recollant la fibre $\underline{\Phi}$ en 0 et \mathbb{Z} sur $K - \{0\}$ par le morphisme v .

$\alpha: \mathcal{A} \rightarrow \mathcal{B}$ l'unique morphisme de faisceaux dont la fibre en 0 est

$u: \mathcal{Y} \rightarrow \mathbb{P}^1$ et dont la fibre sur $K-\{0\}$ est $\mathcal{Y} \oplus \mathcal{Y} \rightarrow \mathcal{Y}$
 $(x, y) \mapsto x - (1 - vu)y$

On a alors un objet

$$\dots \rightarrow 0 \rightarrow \mathcal{A} \xrightarrow{\alpha} \mathcal{B} \rightarrow 0 \rightarrow \dots$$

(-1) (0)

de $\mathcal{D}_{\text{const}}^b(\Delta)$, et on vérifie qu'il est dans $\text{Per}(\Delta, 0)$.

Il reste à vérifier que ces deux constructions sont quasi-inverses l'une de l'autre...

Exemples:

• $i_{0*} \underline{V}_{\mathcal{Y} \circ \mathcal{Y}}$: $V \rightleftarrows 0$

• $\underline{V}_{\Delta}[1]$: $0 \rightleftarrows V$

• $j_{0!} \underline{V}_{\Delta-\mathcal{Y} \circ \mathcal{Y}}[1]$: $V \begin{matrix} \xrightarrow{0} \\ \xleftarrow{1} \end{matrix} V$ $(0 \rightarrow i_{0*} \underline{V}_{\mathcal{Y} \circ \mathcal{Y}} \rightarrow j_{0!} \underline{V}_{\Delta-\mathcal{Y} \circ \mathcal{Y}}[1] \rightarrow \underline{V}_{\Delta}[1] \rightarrow 0)$

• $j_{0*} \underline{V}_{\Delta-\mathcal{Y} \circ \mathcal{Y}}[1]$: $V \begin{matrix} \xrightarrow{1} \\ \xleftarrow{0} \end{matrix} V$ $(0 \rightarrow \underline{V}_{\Delta}[1] \rightarrow j_{0*} \underline{V}_{\Delta-\mathcal{Y} \circ \mathcal{Y}}[1] \rightarrow i_{0*} \underline{V}_{\mathcal{Y} \circ \mathcal{Y}} \rightarrow 0)$

Remarque: $i_{0*} \underline{k}_{\mathcal{Y} \circ \mathcal{Y}}$ et $\underline{k}_{\Delta}[1]$ sont des objets simples, mais ni $j_{0!} \underline{k}_{\Delta-\mathcal{Y} \circ \mathcal{Y}}[1]$ ni $j_{0*} \underline{k}_{\Delta-\mathcal{Y} \circ \mathcal{Y}}[1]$ ne le sont.
↑
dans $\text{Per}(\Delta, 0)$.

Pour compléter la liste des objets simples il faut rajouter les

$$j_{0!*} \underline{V}[1] := \text{Im}(j_{0!} \underline{V}[1] \rightarrow j_{0*} \underline{V}[1])$$

pour V un système local simple sur Δ^* .

(pour $V = \underline{V}$ trivial, $j_{0!*} \underline{V}[1] \simeq \underline{V}_{\Delta}[1]$).

Remarque: Pour $V = (V, T) \in \text{Loc}(\Delta^X)$,

$$\begin{array}{ccc}
 j_0! V[1] & : & V \begin{array}{c} \xrightarrow{1-T} \\ \xleftarrow{1} \end{array} V \\
 & & \begin{array}{c} \downarrow 1-T \\ \downarrow 1 \end{array} \\
 j_0* V[1] & : & V \begin{array}{c} \xrightarrow{1} \\ \xleftarrow{1-T} \end{array} V
 \end{array}$$

donc $j_0!* V[1] : \text{Im}(1-T) \begin{array}{c} \xrightarrow{\quad} \\ \xleftarrow{1-T} \end{array} V .$

Remarque: Généralisation de cette image par Gallois-Granger-Maisonobe au cas de \mathbb{C}^n stratifié par les hyperplans de coordonnées.

Foncteurs sphériques

(théorie due à Anno - Logvinenko)

Contexte: dans une catégorie triangulée on n'a pas de cône fonctiel. On travaille dans un contexte "amélioré" dans lequel cela existe.

Mot-clé: dg-amélioration = on considère les catégories triangulées avec des identifications $\mathcal{A} \simeq H^0(\tilde{\mathcal{A}})$, $\tilde{\mathcal{A}}$ une dg-catégorie parfaite.

Remarque: dans les exemples ci-dessous, ce problème ne se pose pas.

Déf: Soit $S: \mathcal{A} \rightarrow \mathcal{B}$ un foncteur (triangulé) entre catégories triangulées qui admet un adjoint à gauche L et un adjoint à droite R .

On pose

$T := \text{Cone}(SR \Rightarrow \text{id}_{\mathcal{B}})$, $T' := \text{Cone}(\text{id}_{\mathcal{B}} \Rightarrow SL)[-1]$ "foncteurs de twist"

$F := \text{Cone}(\text{id}_{\mathcal{A}} \Rightarrow RS)[-1]$, $F' := \text{Cone}(LS \Rightarrow \text{id}_{\mathcal{A}})$ "foncteurs de cotwist"

On dit que S est un foncteur sphérique si

(1) $T: \mathcal{B} \rightarrow \mathcal{B}$ est une équivalence de catégories

(2) $F: \mathcal{A} \rightarrow \mathcal{A}$ est une équivalence de catégories

(3) $LT[-1] \rightarrow L(SR) \simeq (LS)R \rightarrow R$ est un isomorphisme de foncteurs
("le twist identifie les adjoints")

(4) $R \rightarrow R(SL) \simeq (RS)L \rightarrow FL[1]$ est un isomorphisme de foncteurs
("le cotwist identifie les adjoints")

Théorème: (Anno-Logvinenko)

- Deux parmi (1), (2), (3), (4) impliquent les deux autres.

- Dans ce cas, T' est un quasi-inverse de T , F' un quasi-inverse de F .

Lemme: Soit $S: \mathcal{A} \rightarrow \mathcal{B}$ un foncteur sphérique, alors chacune des adjonctions

$$\mathcal{A} \begin{array}{c} \xrightarrow{S} \\ \xleftarrow{R} \end{array} \mathcal{B}$$

$$\mathcal{A} \begin{array}{c} \xleftarrow{L} \\ \xrightarrow{S} \end{array} \mathcal{B}$$

donne lieu à des faisceaux fibres $\text{sm}(\Delta, 0)$ après passage au K_0 :

$$K_0(\mathcal{A}) \begin{array}{c} \xrightarrow{K_0(S)} \\ \xleftarrow{K_0(R)} \end{array} K_0(\mathcal{B})$$

$$K_0(\mathcal{A}) \begin{array}{c} \xleftarrow{K_0(L)} \\ \xrightarrow{K_0(S)} \end{array} K_0(\mathcal{B})$$

(si $K_0(\mathcal{A})$ et $K_0(\mathcal{B})$, par convention à coefficients dans k , sont de dim. finie)

Déf: Un Schobers fibres $\text{sm}(\Delta, 0)$ est un foncteur sphérique.

Preuve:

D'après $SR \Rightarrow \text{id}_{\mathcal{B}} \Rightarrow T \xrightarrow{+1}$

on a $K_0(S)K_0(R) = K_0(SR) = 1 - \underbrace{K_0(T)}_{\text{isomorphisme de } K_0(\mathcal{B})}$.

En effet, pour tout objet X de \mathcal{B} on a

$$SRX \rightarrow X \rightarrow TX \xrightarrow{+1}$$

d'où $[SRX] = [X] - [TX]$.

$$\underbrace{K_0(S)K_0(R)[X]}_{\text{à gauche}} \quad \underbrace{K_0(T)[X]}_{\text{à droite}}$$

Exemples de foncteurs sphériques

Soit S^d la sphère de dimension d , $a: S^d \rightarrow \{\text{pt}\}$

$$\mathcal{A} := D^b(\text{Vect}) = D^b(\text{pt}) \xrightarrow{a^*} D^b(S^d) =: \mathcal{B}$$

Prop: a) $\mathcal{A} \xrightarrow{a^*} \mathcal{B}$ est un foncteur sphérique

b) Plus généralement, pour $f: X \rightarrow Y$ une S^d -fibration entre CW-complexes, $f^*: D^b(Y) \rightarrow D^b(X)$ est un foncteur sphérique.

De même, T' est donné par

$$T'(F') = \pi_{2*}(\pi_1^* F' \otimes \mathcal{K}')$$

$$\text{avec } \mathcal{K}' = j_* \underline{k}_u[d-1].$$

On veut vérifier que $T \circ T' \sim \text{id}$ et $T' \circ T \sim \text{id}$

$$(T \circ T')(F') = \pi_{2*}(\pi_1^* F' \otimes (\mathcal{K} * \mathcal{K}'))$$

$$\begin{aligned} \mathcal{K} * \mathcal{K}' &= \pi_{13*}(\pi_{12}^* \mathcal{K} \otimes \pi_{23}^* \mathcal{K}') \\ &= \pi_{13*}(\pi_{12}^* j_* \underline{k}_u \otimes \pi_{23}^* j_* \underline{k}_u) [d] \end{aligned}$$

On prouve alors que

$$\mathcal{K} * \mathcal{K}' \simeq i_* \underline{k}_\Delta, \text{ et donc } T \circ T' \sim \text{id}.$$

↑

$$j^*(\mathcal{K} * \mathcal{K}') = 0 \text{ car } H^i(S^d - \{x\}, \{y\}) = 0 \quad (x \neq y)$$

$$\begin{aligned} i^*(\mathcal{K} * \mathcal{K}') &\simeq \underline{k}_\Delta \text{ car } H^i(S^d - \{x\}) \cong k[0] \\ &H^i(S^d, \{x\}) \cong k[-d]. \end{aligned}$$

Deuxième condition: $R \xrightarrow{\sim} FL[+1]$

$$F = \text{Cone}(\text{id} \Rightarrow a_* a^*)[-1]$$

$$k \longrightarrow a_* \underline{k}_{S^d} \longrightarrow k[-d] \xrightarrow{+1}$$

$$\text{donc } F k[1] \cong k[-d]$$

$$\text{d'où } a_* \xrightarrow{\sim} a_* [d] [-d].$$

Un autre exemple: $q: Z \rightarrow X$ ^{lisse/k} famille propre et lisse de variétés de CY (au sens strict: $H^i(Z, \mathcal{O}_Z) = k$ ssi $i \in \{0, n\}$), $q^*: D_{\text{coh}}^b(X) \rightarrow D_{\text{coh}}^b(Z)$.

Preuve: (de a))

Adjoint à droite: $R = a_*$ (dérivé: foncteur de cohomologie)

Adjoint à gauche: $L = a^*[d]$

En effet, $a^! \cong a^*[d]$

$a_! \cong a_*$ (a est propre)

$\text{Hom}(a_! X, Y) \cong \text{Hom}(X, a^! Y)$

$\text{Hom}(a_* X[d], Y) \cong \text{Hom}(X[d], a^! Y)$

$\cong \text{Hom}(X[d], a^* Y[d])$

$\cong \text{Hom}(X, a^* Y)$.

Notation: $\pi_1, \pi_2: S^d \times S^d \rightarrow S^d$, $i: \Delta \hookrightarrow S^d \times S^d$
 $j: (S^d \times S^d) - \Delta \xrightarrow{=} S^d \times S^d$

$\mathcal{K} = j_! \underline{k}_{-u}[1]$ ("kernel")

Fait: $T := \text{Cone}(a^* a_* \Rightarrow \text{id}_{\mathcal{D}^b(S^d)})$ est donné par

$T(\mathcal{F}^1) = \pi_{2*}(\pi_1^* \mathcal{F}^1 \otimes_{\mathbb{k}} \mathcal{K})$

Justification:

$a^* a_* \mathcal{F}^1 \cong \pi_{2*}(\pi_1^* \mathcal{F}^1 \otimes_{\mathbb{k}} \underline{k}_{-S^d \times S^d})$

$\mathcal{F}^1 \cong \pi_{2*}(\pi_1^* \mathcal{F}^1 \otimes_{\mathbb{k}} i_* \underline{k}_{-\Delta})$

et on a un triangle

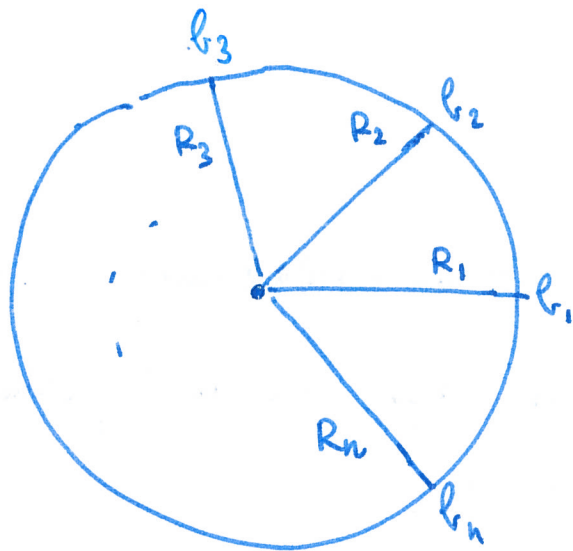
$\underline{k}_{-S^d \times S^d} \longrightarrow i_* \underline{k}_{-\Delta} \longrightarrow \mathcal{K} \xrightarrow{+1}$

qui donne

$a^* a_* \Rightarrow \text{id} \Rightarrow T \xrightarrow{+1}$

Vers les faisceaux pervers sur les surfaces

(d'autres incarnations de la même catégorie)



($n \geq 2$)

$$K = R_1 \cup \dots \cup R_n$$

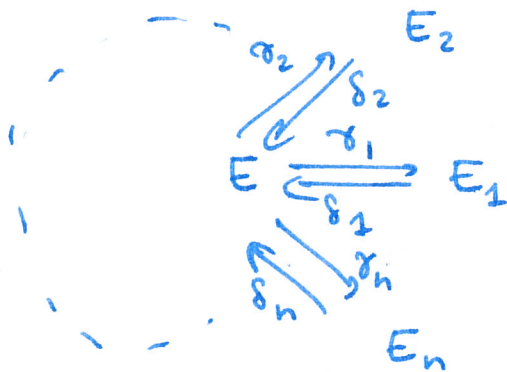
Prop: Pour $\mathcal{F}' \in \text{Perv}(\Delta, 0)$, on a $\underline{H}_k^i(\mathcal{F}') = 0 \quad \forall i \neq 0$. (récurrent)

Posons donc $E := \underline{H}_k^0(\mathcal{F}')$.

et $\forall i = 1, \dots, n, E_i := \underline{H}_k^0(\mathcal{F}')_{l_i}$.

On a des $\sigma_i: E \rightarrow E_i$.

Prop: La catégorie $\text{Perv}(\Delta, 0)$ est équivalente à la catégorie formée des diagrammes



relifant

- $\sigma_i \delta_i = \text{id}_{E_i}$
- $T_i := \sigma_{i+1} \delta_i: E_i \rightarrow E_{i+1}$ iso.
- $i \neq j, j+1 \pmod n, \sigma_i \delta_j = 0$.

Faisceaux fevers sur les surfaces

Soit S une surface compacte, possiblement à bord ∂S , $S^\circ := S - \partial S$.

$N \subseteq S^\circ$ un ensemble fini.

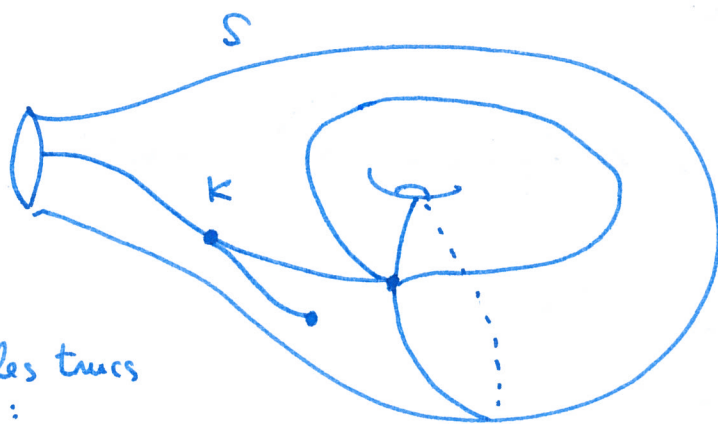
On veut comprendre $\text{Perv}(S, N)$.

Une possibilité: recoller les $\text{Perv}(A, 0)$ et un système local sur $S - N$.

Plus dans l'esprit des Schobers fevers: s'appuyer sur un "squelette lagrangien" pour faire une coupe globale.

Fixons un "graphe couvant" K de S , ie un graphe avec une immersion fermée dans S° , tq $\bar{K} \subset S$ est un graphe dans S , et que $K \hookrightarrow S^\circ$ est une équivalence d'homotopie.

($\Rightarrow S$ doit avoir un bord)



En recollant les trucs locaux:

Prop: $\forall \mathcal{F} \in \text{Perv}(S, N)$, $H_k^i(\mathcal{F}) = 0 \quad \forall i \neq 0$.

Prop: $\text{Perv}(S, N)$ est équivalente à la catégorie fermée

$\rightarrow \forall x \in \text{Vert}(K), E_x$

$\rightarrow \forall e \in \text{Ed}(K), E_e$

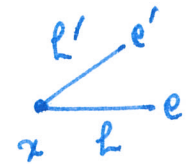
$\rightarrow \forall h$ half-edge, $E_x \xrightleftharpoons[\delta_h]{\partial_h} E_e$

by

→ pour x 1-valent, $1 - \tau_R \delta_R : E_x \rightarrow E_x$ isomorphisme

→ pour une valence ≥ 2 ,

• $\forall h, \tau_R \delta_R = 1$

•  $\tau_{R'} \delta_R : E_e \rightarrow E_{e'}$ iso

• autre cas, $\tau_{R'} \delta_R = 0$.